

Magnetski kontrolnik za mjerjenje ispučenja profila pilne trake**

Sažetak

Naprava je predviđena za mjerjenje ispučenja profila uzdužno savijenih listova pilnih traka, koji su specifičnim postupkom hladnog valjanja prednapeti, u oštionicama pilanskih pogona. U članku je kritički analiziran konvencionalni način mjerjenja napetosti u pilnoj traci i prikazan novi magnetski kontrolnik. Za razliku od konvencionalnog načina, novim se kontrolnikom provjerava profil lista pile kod takvog radiusa uzdužne zakrivljenošći pilne trake koji odgovara polu-mjeru kotača oko kojeg će se pila ovijati tokom rezanja. Novi kontrolnik pokazuje mjeru ispučenja pilne trake, brojčano, a te vrijednosti su pogodne za uspostavljanje i temelj su preporuka za proizvodnu praksu. Uz to je u skraćenom obliku prikazana matematska obrada problema i dio rezultata provedenih pokušnih mjerjenja.

Ključne riječi: pilna traka — tračna pila.

MAGNETIC CONTROLLER FOR ACME MEASUREMENT OF THE BAND SAW BLADE TRANSVERSE DEFLECTED SHAPE

Summary

The device is intended to measure the acme of the transverse deflected shape of band saw blades, tensioned by a specific cold rolling process in saw mill filing rooms. A critical analysis of conventional measurements of residual stresses in the blade and a description of the new magnetic controller are given. By the new controller, unlike the conventional light gap method, the measurement is taken by bending the blade over a radius equal to the one of the pulley to be used in the actual sawing operation. The new controller gives numerical values for the acme of the transverse deflected shape, being convenient for comparisons and for formulating instructions for the working practice. A short survey of the mathematical treatment of the problem and a part of experimental results are also given.

Key words: band saw blade — band saw.

1. UVOD

U toku pripreme listova tračnih pila, u oštionicama pilanskih pogona, vrši se hladno valjanje pilnih traka specifičnim postupkom. Cilj valjanja je da se unutar materijala pile stvore određeni prednaponi u pravcu uzdužne osi trake. Prednaponi trebaju biti takvog intenziteta i raspoređeni po širini trake da — sumirani s naponima koji će se javiti u listu pile tokom rada stroja — omoguće visoku stabilnost pile u uvjetima piljenja, a time i točnost i produktivnost stroja. Navedeni postupak valjanja naziva se često napinjanje valjanjem ili kraće napinjanje.

U praksi se često nalazi na slučajevu da je neadekvatno prednapeta pila limitirajući faktor brzine posmaka, ili da, uslijed lošeg valjanja, dolazi do previsoke koncentracije naprezanja, te do zamora i pukotina u materijalu pile — naročito u pazuzu zuba. Ove pojave ukazuju na važnost kvalitetnog napinjanja pila valjanjem.

U vezi s tim, treba istaći da se više desetaka puta u toku pripreme pile — a naizmjenično s

pojedinim fazama valjanja — vrši provjera oblika profila pilne trake, radi reguliranja i kontrole postupka napinjanja. Takvo ispitivanje lista tračne pile predstavlja jednu od ključnih faza u procesu napinjanja i pripreme pila. Zato i ovo provjeravanje napetosti u tračnoj pili ima presudno značenje za točnost piljenja i produktivnost pilanskih tračnih pila.

Zadnjih godina konstruirani su elektronski strojevi [15], [16], koji samostalno vrše napinjanje tračnih pila i provjeru ostvarenih prednapona. Vjerojatno zbog svoje složenosti i visoke cijene, ovi strojevi za sada nisu naišli na široku primjenu, te u našu zemlju nije uvezen niti jedan takav uređaj. U stvari, danas se u većini pogona mjeruje napetosti u pilnoj traci vrši na posve zanatski način. Za ovu ubičajenu tehniku mjerjenja nisu precizno određeni ni postupak rada, niti kontrolne mjere, te ove operacije vrše oštrači — »saw-doctors« — prema individualnom zanatskom znanju i »osjećaju«. To je jedan od razloga da, kod istih tipova tračnih pila, u inače sličnim uvjetima, nalazimo višestruko različite, a ponekad i izrazito male brzine posmaka.

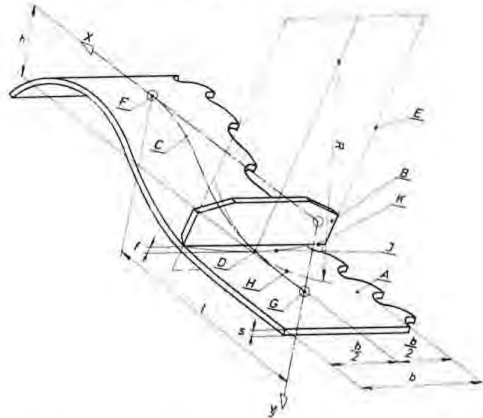
Novi magnetski kontrolnik za mjerjenje ispučenja profila pilnih traka predstavlja pokušaj da se ostvari naprava pristupačna širokoj primjeni. Ta naprava će omogućiti definiranje postupka uz iskazivanje brojčanih vrijednosti određene točnosti.

* Mario Stambuk, dipl. ing., Tvornica strojeva »Bratstvo«, Zagreb.

** Prva obrada materije koja se tretira u ovom članku bila je izvršena u okviru teme Fonda za naučni rad SRH: »Studij, ispitivanje i idejna razrada specifične konstrukcije pilanskih tračnih pila takovih parametara, koji će odgovarati uvjetima razreza domaćih i egzotičnih vrsta drva« Zagreb 1975. g. Nosilac teme: prof. dr. Josip Hribar, dipl. ing.

2. ISPUPČENJE PROFILA LISTA TRAČNE PILE KAO POKAZATELJ NAPETOSTI U PILNOJ TRACI

Napetost u pilnoj traci u praksi se provjerava posredno — kontrolom geometrijskog oblika profila uzdužno savijenog lista tračne pile. Najčešće primjenjivani postupak prikazan je na sl. 4. Ispitivanja [10] objavljena 1975. g. pokazala su da ova posredna tehnika mjerena nije sasvim pouzdana. Međutim, dok se ne istraže druge točnije metode, ovakav će se posredni način i dalje primjenjivati u praksi, i zato ga je potrebno unapređivati u granicama postojećih mogućnosti.



Slika 1. Principijelna shema konvencionalnog režima mjerenja napetosti u pilnoj traci: A — pilna traka savijena na konvencionalni način, kako je to prikazano na sl. 1; B — kontrolni lineal s ravnim mernim bridom (K); C — elastična linija pilne trake (od točke F do točke G), nacrtana na gornjoj površini pile; E — zamisljena ravnina okomita na elastičnu liniju (C), u točki mjerena (D); D — točka mjerena; F — lijevi kraj elastične linije (C), gdje je pilna traka oslonjena na visini h iznad stola; G — desni kraj elastične linije (C), gdje se odigrnuti kraj pilne trake oslanja na stol; H — oskulutorna kružnica elastične linije (C) u točki mjerena (D); J — kontura gornjeg brida poprečnog presjeka pilne trake kroz točku mjerena (profil pilne trake); K — merni brid kontrolnog lineala. Ostale označke iz sl. 1 opisane su u odjelju 8.1.

Najčešće se napetost u pilnoj traci provjerava (sl. 1) mjeranjem udaljenja (f) sredine profila (J) od mernog brida (K) lineala (B). Prilikom takvog mjerjenja, elastična linija (C) lista pile na mjestu mjerena (D) savijena je pod izvjesnim radiusom (R). U literaturi i prospektima mogu se naći preporučene iskustvene veličine za ispučenje f [4], [5], [12], [13]. Međutim, za ove iskustvene podatke nisu navedeni uvjeti pri kojima su podaci ustanovljeni, nisu navedena dozvoljena odstupanja, a rezultati u raznim izvorima ponekad se znacajno međusobno razlikuju. Zato je korištenje ovih preporuka otežano.

U nekim se oštrolionicama primjenjuju kontrolni lineali, sličnog oblika kao na sl. 1, ali sa zakrivljenim mernim bridom. Oblik krivine mernog brida određuje se prema iskustvu. Zadatak je radnika da valjanjem ostvari takvu napetost

u pilnoj traci da krivina poprečnog profila trake odgovara krivini mernog brida kontrolnog lineala. Za oblik krivine mernog brida publicirani su preporučeni podaci, najčešće u vidu datih radiusa krivina [12], [13], ali se i kod korištenja tim mjerama nailazi na slične probleme kakvi su navedeni za preporučene vrijednosti ispučenja f .

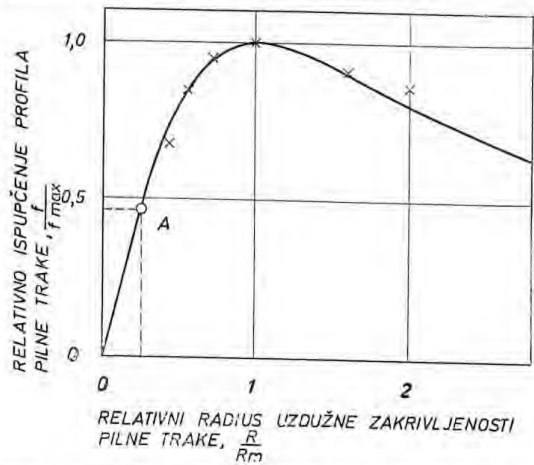
U ovome radu, kao pokazatelj napetosti u pilnoj traci, usvojiti će se veličina ispučenja profila pilne trake. Ova dimenzija pogodnija je od radiusa lučnog brida, zbog mogućnosti neposrednjeg prikazivanja brojčanim vrijednostima, uz dozvoljena odstupanja — tolerance.

Za dalja razmatranja uvjetno je usvojena toleranca $T = 0,1$ mm, kao dozvoljeno odstupanje mjerena ispučenja f novim magnetskim kontrolnikom. Može se smatrati da je takva toleranca mjerena u ovome trenutku prihvatljiva, jer predstavlja osjetno povišenje točnosti u odnosu na uobičajenu praksu, a tehničko ostvarenje takvog zahtjeva ne predstavlja osjetne teškoće.

3. RADIUS UZDUŽNE ZAKRIVLJENOSTI LISTA TRAČNE PILE KOD KOGA TREBA MJERITI ISPUPČENJE PILNE TRAKE

Kako je pokazao Wüster [1], sl. 2, veličina ispučenja f , kod prednapete tračne pile ovisi o radiusu R uzdužne krivine na mjestu mjerena, a varira unutar opsega od 0 do f_{\max} . Prema tome, ispučenje f ne može predstavljati neku mjeru napetosti u savijenoj traci kad nije poznat radius krivine pile kod kog je ispučenje ustanovljeno.

Ako je list tračne pile savijen u krivinu radiusa kotača pile, tada profil dobiva takav oblik kakav se formira na kotačima neposredno prije zatezanja trake na stroju. Ovaj profil prikazuje poprečnu konturu pile koju je moguće promatrati

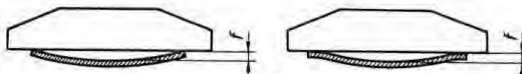


Slika 2. Grafikon relativnog ispučenja profila pilne trake kao funkcije relativnog radiusa uzdužne zakriviljenosti lista pile: A — točka koja orientacijski prikazuje relativno ispučenje profila kad je pila savijena u krivini radiusa kotača pile. Križići (x) predstavljaju srednje vrijednosti jedne od serija mjerena provedenih u okviru ovog rada, radi usporebe s teoretskom krivuljom. Dodatna objašnjenja u odjelju 7.1.

i mjeriti, a koja je najbliža stanju pile, kakvo se ostvaruje na kotačima tokom rada stroja. Zato je ovaj profil trake najpogodniji za uspoređivanje s profilom vijenca kotača pile, radi procjene i određivanja dodatnih prednapona koje zahtijevaju ostali utjecajni faktori (zatezanje pile na stroju, zagrijavanje pile tokom rada i dr.). Na osnovi razmatranja profila lista pile zakriviljenog po radiusu kotača pile, moguće je, dakle, danas u široj praksi najbolje procijeniti da li su valjanjem inicirani prednaponi u pilnoj traci takvi da — kada se superponiraju s naponima koji će se javiti u pilnoj traci tokom rada stroja — ostvaruju rezultante napona koje omogućuju visoki stupanj stabilnosti pile u uvjetima rezanja.

Osim toga, kako iznosi Allen [2] (sl. 3), samo kod radiusa zakriviljenosti pile, koji odgovara polumjeru kotača pile, moguće je ustanoviti da li će pila na stroju pokazati neželjeno smanjenje napetosti u rubnim pojasevima, uslijed fenomena »anticlastic«.

A B

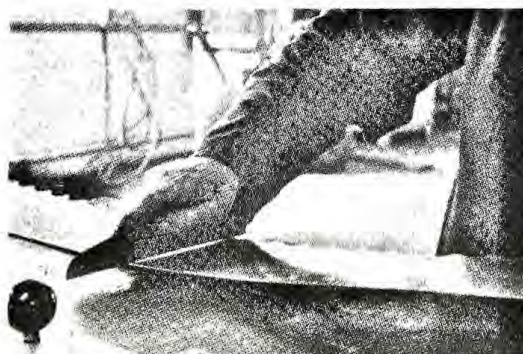


Slika 3. Skica karakterističnih oblika profila uzdužno savijenog lista tračne pile: A — lučni oblik; B — »anticlastično« povijanje rubnih pojaseva. Dodatno objašnjenje u odjeljku 7.2.

Iz navedenog slijedi da je, radi dobivanja definiranih rezultata, potrebno kontrolirati ispunjenje profila pilne trake. Za unaprijed dogovoren radius uzdužne zakriviljenosti lista pile, a radi određivanja optimalne prednapetosti u listu pile, potrebno je da taj dogovoren radius savijanja trake na mjestu mjerena bude jednak polumjeru kotača pile.

4. ANALIZA KONVENCIONALNOG NAČINA MJERENJA NAPETOSTI U PILNOJ TRACI

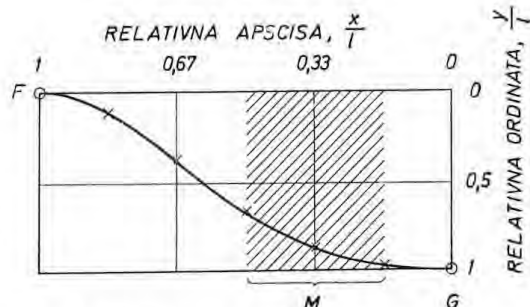
Danas se tehnika posrednog mjerjenja napetosti u pilnoj traci najčešće obavlja na način prikazan slikom 4, koji ćemo u ovom tekstu označavati nazivom: konvencionalni.



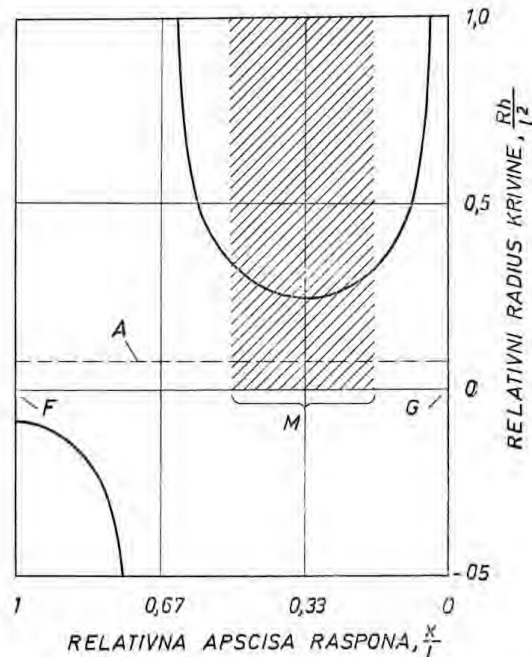
Slika 4. Fotografija konvencionalnog načina mjerjenja napetosti u listu tračne pile. Dodatno objašnjenje u odjeljku 7.3.

Radi analize ovog načina mjerjenja, računskim putem su izvedeni slijedeći izrazi (vidi poglavlje 7.):

- obrazac za funkciju elastične linije lista pile kakva se formira prilikom konvencionalnog načina mjerjenja (sl. 5),
- obrazac za funkciju radiusa uzdužne zakriviljenosti, duž raspona konvencionalne elastične linije (sl. 6),

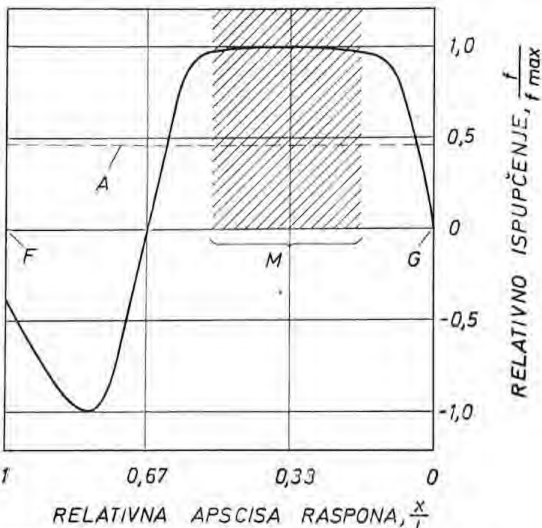


Slika 5. Elastična linija lista tračne pile, kakva se često formira prilikom konvencionalnog načina mjerjenja napetosti u pilnoj traci, prikazana u bezdimenzionalnim koordinatama: F — lijevi oslonac pile (prema sl. 1); G — desni oslonac pile (prema sl. 1); M — područje mjerena. Križići (x) predstavljaju srednje vrijednosti izvršenih mjerena na opitnoj pili. Dodatna objašnjenja u odjeljku 7.4.



Slika 6. Orientacijski grafikon promjene relativnog radiusa krivine duž raspona, kod elastične linije kakva se formira prilikom konvencionalnog načina mjerjenja napetosti u pilnoj traci: A — linija koja predstavlja relativni radius kotača pile; F — mjesto lijevog oslonca pile (prema sl. 1); G — mjesto desnog oslonca pile (prema sl. 1); M — područje mjerena. Dodatna objašnjenja u odjeljku 7.5.

— obrazac za funkciju ispučenja profila lista pile, duž raspona konvencionalne elastične linije (sl. 7).



Slika 7. Orientacijski grafikon promjene relativnog ispučenja profila pile duž raspona, kod elastične linije napetosti u pilnoj traci: A — linija koja predstavlja relativno ispučenje, kad bi pila bila savijena u krivinu radijusa kotača; F — mjesto lijevog oslonca pile (prema sl. 1); G — mjesto desnog oslonca pile (prema sl. 1); M — područje mjerjenja. Dodatna objašnjava u odjelu 7.6.

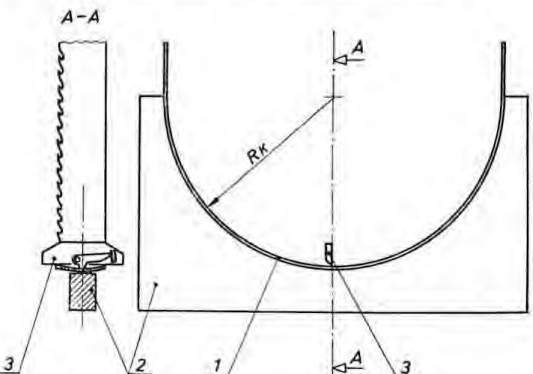
Izvršena mjerena¹ na tračnim pilama debljine $S = 1,1 \dots 1,3$ mm potvrdila su rezultate matematske obrade, tako da se za pile navedenih debljina može utvrditi slijedeće:

1. Na desnom dijelu konvencionalne elastične linije pilne trake, u području gdje se vrši mjerjenje ispučenja f , nije određen položaj, a najčešće i ne postoji mjesto na kome bi radius krivine elastične linije odgovarao poljumjeru kotača pile, sl. 6. To znači da radnik tokom mjerjenja konvencionalnim načinom ne može vidjeti takav oblik profila pilne trake kakav se formira na kotaču pile neposredno prije zatezanja pile.
2. Kod konvencionalnog načina mjerena napetosti u pilnoj traci, u području mjerjenja se formira ispučenje f , koje se značajno razlikuje od ispučenja f_k , kakvo se formira na pili savijenoj u krivinu radiusa kotača (sl. 7; tab. I; odjeljak 7.6 i 7.8). To znači da radnik ne može neposredno usprediti očitanu veličinu ispučenja f pilne trake s veličinom odgovarajućeg ispučenja profila na kotaču pile.
3. Kako je vidljivo iz sl. 4 i opisa u odjelu 7.3, postojeće upute za konvencionalni način mjerena su nedovoljno određene, te omogućavaju različita tumačenja i indivi-

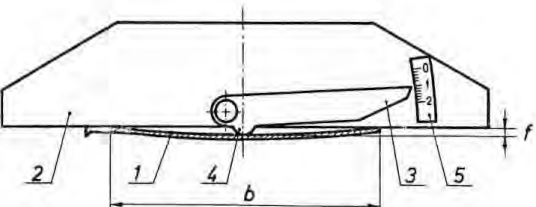
dualne postupke mjerena. Ovdje treba navesti i nalaz da kod kontrolnog lineala s ravnim bridom radnik vidi svjetli projekciju, koji je približno dva puta širi od stvarnog razmaka između pile i mjernog brida lineala (tabela 1; odjelak 7.8). To znači da po konvencionalnom postupku očitane vrijednosti ispučenja nemaju objektivni značaj. Očitane vrijednosti predstavljaju individualne ocjene, u okviru individualno izgrađenog načina rada svakog pojedinog ostrača.

Iznesene neodređenosti konvencionalnog načina mjerena jedan su od uzroka da se nisu mogli uspostaviti numerički normativi koji bi definirali potrebnu napetost u pilnoj traci za pojedine režime piljenja. Zato svaki ostrač mora, na osnovi vlastitog iskustva i za vlastiti stil rada, tokom prakse izgradivati vlastitu predstavu o potreboj veličini ispučenja f , za pojedine režime piljenja. Ostrača ima boljih i lošijih, a dobri »saw-doctori« su vrlo deficitaran kada. Tako kapacitet tračnih pil, a često i cijele pilane, postaje ovisan o jednom faktoru koji je velikim dijelom izvan domašaja industrijskog režima kontrole i planiranja.

Radi rješavanja navedenih problema posredne tehnike mjerena napetosti u listu tračne pile, konstruiran je novi magnetski kontrolnik.



Slika 8. Skica postupka i pomagala kojim su izvršena pokusna mjerena ispučenja lista tračne pile, savijene u polukrug radijusa kotača pile: 1 — list tračne pile; 2 — drevna šablonu čiji je radius jednak poljumjeru kotača pile; 3 — mjeru napravu s kazaljkom i skalom, prikazana na slici 9.



Slika 9. Skica mjerne naprave s kazaljkom i skalom: 1 — prečni presjek (profil) uzdužno zakrivljenog lista pile; 2 — kontrolni lineal; 3 — okretna kazaljka 4 — pipkalo kazaljke; 5 — mjeru skala (jedan podjeljak širine cca 1 mm, odgovara veličini 0,1 mm ispučenja f). Dodatno objašnjava u odjelu 7.7.

¹ Eksperimentalne radove i mjerena, čiji su dijelovi korišteni u ovom tekstu, izvršio je dipl. teh. Zoran Zgaga, u tvornici »BRATSTVO«, Zagreb.

Vrijednosti ispuštenja f , snimljene na pokusnom listu tračne pile ($s = 1,2 \text{ mm}$; $b = 120 \text{ mm}$) radi analize konvencionalnog načina mjerena napetosti u pilnoj traci. Dodatna objašnjenja u odjeiku 7.8.

TABELA I

Red. br. alinee	Opis podataka	Oznaka podataka	Oznake mesta mjerena na pokusnoj pilnoj traci					Aritmetička sredina	Standardna devijacija
			a	b	c	d	e		
1.	Ispuštenje lista tračne pile savijene u polukrug radiusa kotača pile $R_k = 550 \text{ mm}$. Mjerene je izvršeno po postupku prikazanom na sl. 8	f_k [mm]	0,4	0,38	0,4	0,4	0,42	0,4	0,013
2.	Stvarno ispuštenje na konvencionalno savijenoj pili, izmjereno mjerom napravom s kazaljkom i skalom, sl. 9	f_s [mm]	0,75	0,75	0,75	0,8	0,75	0,76	0,025
3.	Okom procijenjeno ispuštenje na konvencionalno savijenoj pili uz pomoć kontrolnog lineala s ravnim brdom, sl. 4.	f_o [mm]	1,5	1,3	1,3	2	2	1,6	0,34
4.	Stvarno ispuštenje na konvencionalno savijenoj pili u odnosu na ispuštenje pile savijene u polukrug radiusa kotača $R_k = 550 \text{ mm}$	$\frac{f_s}{f_k}$	1,9	2	1,9	2	1,8	1,92	0,075
5.	Okom procijenjeno ispuštenje u odnosu na stvarno ispuštenje — kod konvencionalno savijene pile	$\frac{f_o}{f_s}$	2	1,7	1,3	2,5	2,7	2	0,5
6.	Okom procijenjeno ispuštenje na konvencionalno savijenoj pili u odnosu na ispuštenje pile savijene u polukrug radiusa kotača $R_k = 550 \text{ mm}$	$\frac{f_o}{f_k}$	3,7	3,4	3,3	5	4,8	4	0,7

Vrijednosti ispuštenja f_k' , snimljene na jednom pokusnom listu tračne pile ($s = 1,2 \text{ mm}$; $b = 120 \text{ mm}$) radi analize točnosti postupka mjerena napetosti u pilnoj traci pomoću novog magnetskog kontrolnika. Dodatna objašnjenja u odjeiku 7.9.

TABELA II

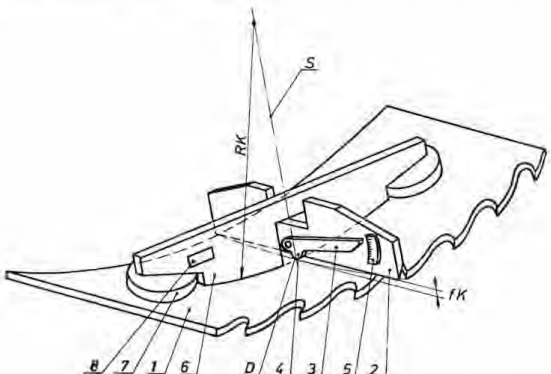
Red. br. alinee	Opis podataka	Oznaka podataka	Oznake mesta mjerena na pokusnoj pilnoj traci					Aritmetička sredina	Standardna devijacija
			a	b	c	d	e		
1.	Ispuštenje lista tračne pile savijene u polukrug radiusa kotača pile $R_k = 550 \text{ mm}$. Mjerene je izvršeno po postupku prikazanom na sl. 8	f_k [mm]	0,40	0,38	0,4	0,40	0,42	0,40	0,0126
2.	Ispuštenje ustanovljeno magnetskim kontrolnikom. Mjerene je izvršio radnik A.	f_{kA} [mm]	0,40	0,40	0,40	0,40	0,42	0,405	0,0214
3.	Ispuštenje ustanovljeno magnetskim kontrolnikom. Mjerene je izvršio radnik B.	f_{kB} [mm]	0,38	0,42	0,4	0,4	0,4	0,4	0,0126
4.	Razlika očitanih ispuštenja $\Delta f_k = f_{kA} - f_k$	Δf_A	0	0,02	0	0	-0,02	0	0,0126
5.	Razlika očitanih ispuštenja $\Delta f_B = f_{kB} - f_k$	Δf_B	-0,02	0,04	0	0	-0,02	0	0,022
6.	Razlika očitanih ispuštenja $\Delta f_{AB} = f_{kA} - f_{kB}$	Δf_{AB}	0,02	0,02	0	0	0	0,008	0,01

5. PRIKAZ NOVOG MAGNETSKOG KONTROLNIKA ZA MJERENJE ISPUPČENJA PROFILA PILNE TRAKE²

Osnovni dio novog kontrolnika, sl. 11, predstavlja lučna šablona (6), čiji je radius jednak polumjeru kotača stroja (R_k), po kojem će se pila ovijati tokom rezanja. Na lučnu šablonu učvršćena su dva permanentna magneta (7) koja privlače list pile i priljubljuju ga uz lučni brid šablove. Time se, u okolini mjesa mjerjenja (D), pilna traka uzdužno savija u luk, čiji je radius (R_k) jednak polumjeru kotača pile. Kontrolni lineal (2), postavljen uz okomicu (S), visinski je pomičan, te se, oslonjen na bridove pile, odiže iznad mjesa mjerjenja (D), za određenu visinu (f_k). Pipkalo (4), dodirujući — uslijed težine kazaljke (3) — pilu na mjestu mjerjenja, daje vrhu kazaljke višestruko povećani otokon. Tako se ispuštenje pile može očitati na skali (5), čiji svaki podjeljak, širine oko 1 mm, pokazuje 0,1 mm ispuštenja pile (f_k). Po svojoj konstrukciji, magnetski kontrolnik je jednostavan, te se njegova cijena može uspoređivati s cijenom nekoliko kubičnih metara piljene građe.

Rukovanje magnetskim kontrolnikom KNP prikazano je na slici 10, a dalje razjašnjenje postupka dano je prema oznakama na sl. 11. Prije početka mjerjenja treba provjeriti da li je na mjestu za oznaku (8) utisнутa brojka koja definira veličinu promjera kotača pile, za koji je pila koja se mjeri namijenjena. Drugim riječima, svaka pilana treba raspolažati s toliko vrsta magnetskih kontrolnika koliko ima raznih promjera kotača na svojim tračnim pilanama. Tokom mjerjenja kontrolnik treba biti postavljen na pilu tako da lučni brid šablove (6) doćiće pilu približno po simetrali širine i da kontrolni lineal (2) prolazi približno kroz dno ozubine. Pri tome treba voditi računa da list pile naliježe na lučni brid šablove u dvije ili više točaka. Zato će, prema potrebi, naročito kod debljih pila, radnik lijevom rukom podržati pilu prema prednjem magnetu. Veličinu ispušte-

nja (f_k) pokazuje kazaljka (3) na skali (5). Kod uvježbanih radnika vrijeme potrebno za kontrolu jedne pile magnetskim kontrolnikom ne razlikuje se bitno od vremena potrebnog za mjerjenje po konvencionalnom načinu.



Slika 11. Principijelna shema magnetskog kontrolnika napetosti u pilnoj traci: 1 — pilna traka; 2 — kontrolni lineal položen okomito na uzdužnu os pilne trake, koji se, oslonjen na bridove pile, samostalno visinski podešava; 3 — okretna kazaljka; 4 — pipkalo kazaljke; 5 — mjerna skala; 6 — šablon bočnim bridom radiusa kotača pile, položena u simetralnoj ravni pile; 7 — permanentni magneti; 8 — oznaka dijametra luka šablove (6) koji odgovara promjeru kotača pile za koji je kontrolnik namijenjen; D — točka mjerjenja; f_k — ispuštenje profila pile, koje odgovara radiusu kotača pile R_k ; R_k — radius kotača pile za koji je kontrolnik namijenjen; S — okomica na pilu u točki mjerjenja, D.

Radi provjere točnosti magnetskog kontrolnika izvršena su mjerena na pokusnim pilama:

- Na svakom obilježenom mjestu pokusne tračne pile izvršena su po dva mjerena: jedno s magnetskim kontrolnikom, drugo prema postupku prikazanom na sl. 8. Očitani rezultati pokazuju da magnetski kontrolnik daje praktički jednake vrijednosti ispuštenja pile, kao i mjerene u punom polukrugu radiusa kotača pile (tabela II; odjelak 7.9).
- Na svakom obilježenom mjestu pokusne tračne pile dva radnika izvršila su po jedno mjerjenje magnetskim kontrolnikom. Dobiveni rezultati pokazuju da kod primjene magnetskog kontrolnika očitani rezultati ne ovise o radniku, tj. da se odstupanja očitanih rezultata nalaze u okviru dogovorene tolerance mjerena $T = 0,1$ mm (tabela II; odjelak 7.9).

U oštrownicama gdje se kontrola napetosti u listovima tračnih pila vrši konvencionalnom tehnikom, primjena magnetskog kontrolnika može pružiti neke nove mogućnosti za unapređenje pogonske prakse, npr.:

- Novim kontrolnikom se rukuje rutinski, prema jasnim uputama. Zato je obuka radnika jednostavnija i ne zahtijeva posebno sposobne »saw-doctore«.



Slika 10. Fotografija postupka mjerena napetosti u pilnoj traci pomoću magnetskog kontrolnika

² Magnetski kontrolnik za mjerjenje ispuštenja profila pilne trake, tip KNP, prijavljen je kao pronalazak kod Savezne Zavoda za patente, Beograd, pod br. P. 256/75 na ime autora i uvršten je u proizvodni program Tvornice strojeva »BRATSTVO«, Zagreb.

- b) Očitane mjere praktički su neovisne o radniku. Time je omogućeno da, osim oštrača, i drugi radnici mogu izvršiti provjeru kvaliteta operacije napinjanja valjanjem, npr. posebni tehnički kontrolori, rukovaoci tračnih pila i dr. Ovo je bitan preduvjet za provođenje postupka napinjanja valjanjem iz zanatskog u industrijski režim tehnologije.
- c) Magnetskim kontrolnikom očitana ispuštenja predstavljaju brojčane vrijednosti ustanovljene pod definiranim uvjetima i s određenom točnošću. To pruža mogućnosti da se više nego do sada izmjenjuju iskustva između oštrača u raznim pogonima, te između stručnjaka koji se bave ovom problematikom. To daje mogućnosti da se vrše pokušna mjerena i istraživanja, te da se na osnovi ovih radova formiraju orijentacijske tablice i upute za praktičnu primjenu u pilanama.

Nova naprava je relativno jeftina i uključuje se u standardnu opremu oštrolionica za pripremu listova pilanskih tračnih pila. Zato ne postoje objektivna ograničenja za širu primjenu novog postupka. Međutim, razumljivo je, ako se u jednoj pilani želi unaprijediti tehnologija napinjanja pila sa zanatskog na viši industrijski nivo, onda je za taj progres potreban odgovarajući angažman inženjersko-tehničkog kadra.

6. ZAKLJUČCI

- Na mjestu gdje se mjeri ispuštenje profila kao mjera napetosti u pilnoj traci, list pile treba biti savijen u uzdužnu krivinu unaprijed određenog radiusa, koji je jednak poljumu kotača pile.
- Kod konvencionalnog načina, na mjestu mjerena formirano ispuštenje profila pilne trake značajno se razlikuje od ispuštenja koje se ostvaruje na pili savijenoj u krivinu radiusa kotača pile. Osim toga, kod konvencionalnog postupka različiti radnici mogu na istom mjestu jedne pile ustanoviti različite vrijednosti ispuštenja, ovisno o individualnom načinu mjerena.
- Primjenom novog magnetnog kontrolnika, uzdužna os lista tračne pile, na mjestu mjerena, prisudno se savija u krivinu radiusa kotača pile, a formirano ispuštenje profila trake se očitava na skali s toleranciom $T = 0,1 \text{ mm}$.

7. DODATNA OBJAŠNJENJA UZ SLIKE I TABELE

7.1. Krivulja na sl. 2 predstavlja grafički prikaz

$$\frac{f}{f_{\max}} = \frac{2}{R/R_m + R_m/R}$$

funkcije koja je izvedena

na osnovi obrazaca iz literature [1]. Ovdje je

$$R_m = \frac{b^2 \beta^2}{s \sqrt{10}}$$

i predstavlja radius krivine kod koga

se formira maksimalno ispuštenje, f_{\max} . Značenje oznaka fizikalnih veličina dano je u poglavljiju 8.1.

Supstitucijom $R = R_k = K_1 \cdot s$ i $b = K_2 \cdot s$ u gornje obrasce te eliminiranjem veličine R_m dobiva se:

$$\frac{f}{f_{\max}} = \frac{f_k}{f_{\max}} = \frac{2}{\frac{K_1 \sqrt{10}}{K_2 \beta^2} + \frac{K_2 \beta^2}{K_1 \sqrt{10}}}$$

Ako se, dalje, u dobivenu jednadžbu uvrste brojčane vrijednosti kakve se često susreću u praksi: $K_1 = 500$; $K_2 = 100$; $\beta = 0,8$ (odjelak 8.1), izlazi da

$$\frac{f_k}{f_{\max}} = 0,465$$

je, što je prikazano točkom A, na sl. 2.

Dobivena ordinata točke A pokazuje — pri naprijed usvojenim odnosima za K_1 , K_2 , β — da je ispuštenje f_k savijene na radius R_k , kotača pile, približno dva puta manje od maksimalnog ispuštenja, f_{\max} , koje se može pojaviti na pilnoj traci.

7.2. Kod nekih listova tračnih pila koji, kod konvencionalnog mjerena napetosti u pilnoj traci, imaju lučni oblik profila (sl. 3 A), može se pokazati »antiklastično« povijanje rubnih pojaseva trake (sl. 3 B), kad se pila uzdužno savije na radius kotača pile. Pojava »antiklastičnog povijanja« je, bez sumnje, veliki problem napinjanja valjanjem kod tankih tračnih pila, namijenjenih za rad pod visokim zateznim naponima (high-strain) [2].

7.3. Konvencionalni način mjerena napetosti u pilnoj traci, sl. 4, prikazan je u literaturi fotografijama, skicama i najčešće vrlo kratkim opisima [1], [3], [4], [5], [6], [7], [13], [14]. Radi ilustracije navodi se detaljnija tekstualna uputa iz [13]:

»List podignemo lijevom rukom za oko 1/3 metra, tako da se formira luk. Kontrolnik, koji mora biti dugačak najmanje koliko iznosi širina lista, držimo u desnoj ruci. Ako koristimo kontrolnik s ravnim mernim bridom, lako ga pritisnemo poprečno na list pile, na mjestu koje je neposredno iznad radnog stola. Između kontrolnika i lista sada vidimo svijetli procjep — taj otvor može na najvišem mjestu biti visok nekoliko desetinki milimetra. Prava (potrebna) mjera ovog otvora ovisi od okolnosti: to je prema tome stvar iskustva, a za prosudjivanje koristimo očnu mjeru. Važno je da svijetli otvor bude simetričan u odnosu na sredinu. U drugom slučaju, kada se koristi zaobljeni (konveksni) kontrolnik, koji je na bazi iskustva izrađen s točnom krivinom, mora ga se čvrsto pritisnuti uz pilu. Ako je napinjanje izvedeno na pravilan način, ne smije se vidjeti nikakav svijetli zazor.«

Može se uočiti da postupak mjerena u ovim izvorima nije potpuno određen, npr.: nisu precizirani

mjesto i način hvatanja pile, te mjesto mjerjenja; u pojedinim uputama preporučene su različite visine dizanja lista iznad radnog stola; sila kojom treba osloniti kontrolnik na pilu u trenutku mjerjenja opisuje se riječima »lako« ili »čvrsto« pritiskanje; potrebno ispuštenje, odnosno krivina profila, određuje se »iskustvom«; veličina ispuštenja očitava se »očnom mjerom«; isti postupak mjerjenja predviđa se za razne trake, bez obzira na dimenzije lista i dimenzije stroja na kojem će raditi.

7.4. Krivulja na slici 5 predstavlja grafički prikaz

$$\text{funkcije } \frac{y}{1} = 1 - 4 \left(\frac{x}{1}\right)^3 + 3 \left(\frac{x}{1}\right)^4 \text{ koja vrijedi u }$$

$$x \quad 4$$

$$\text{području } 0 \leq \frac{x}{1} \leq 1, \text{ gdje je } 1 = \sqrt{\frac{6 E h s^2}{\gamma}}$$

Ovaj obrazac je izведен na osnovi razmatranja sl. 1 i sl. 4, te uz prihvatanje slijedećih uvjeta:

1. Pilna traka je homogena elastična greda stalnog pravokutnog presjeka; zanemareni su zubi pile i promjena oblika poprečnog presjeka uslijed ispuštenja f .
2. Greda je opterećena isključivo vlastitom težinom; zanemarene su sile pritiska kontrolnika prilikom mjerjenja, kao i slučajne horizontalne sile.
3. U izravnatoj gredi ne postoje unutarnji naponi; zanemareni su naponi nastali uslijed napinjanja valjanjem, kao i drugi preostali naponi nastali tokom izrade, transporta, pripreme, rada i održavanja pile.

$$4. \text{ Ugibi elastične linije su mali; } \frac{h}{1} < 0,25.$$

$$5. (x = 0; y = h), (x = 0, y' = 0), (x = 0, y'' = 0), (x = 1, y = 0), (x = 1, y' = 0).$$

Križići (\times) označavaju rezultate mjerjenja provedenog na pilu ($s = 1,2 \text{ mm}$; $b = 120 \text{ mm}$) radi provjere gore prikazanog obrasca za elastičnu liniju. Tokom ovog pokusa bili su ispunjeni uvjeti, navedeni gore, pod r. br. 2, 4, 5. Analogne rezultate pokazali su i drugi pokusi izvedeni pod istim uvjetima.

7.5. Krivulja na sl. 6 predstavlja grafički prikaz

$$\text{funkcije } R \frac{h}{l^2} = \frac{1}{-\frac{24}{1} \frac{x}{1} + \frac{36}{1} \frac{x^2}{1}} \text{ koja vrijedi u }$$

jedi u području $0 < \frac{x}{1} < 2/3$ i $2/3 < \frac{x}{1} \leq 1$, za elastičnu liniju iz sl. 5.

$$\text{Supstitucijom } R = R_k = K_1 \cdot s \text{ i } l = \sqrt{\frac{6 E h s^2}{\gamma}}$$

$$\text{u gornjoj jednadžbi dobiva se } \frac{R_h}{l^2} = \frac{R_k h}{l^2} = K_1 \sqrt{\frac{\gamma h}{6 E}}$$

Ako se, dalje, u dobivenu jednadžbu uvrste brojčane vrijednosti kakve se često susreću u praksi: $\gamma = 7,7 \cdot 10^4 \text{ N/m}^3$, $E = 0,206 \cdot 10^{12} \text{ N/m}^2$, $K_1 = 500$,

$$h = 0,333 \text{ m (odjelak 8.1)}, \text{ izlazi da je } \frac{R_k h}{l^2} = 0,0715,$$

što je prikazano linijom A na sl. 6. Dobivena linija A s ordinatama 0,0715, pri ranije usvojenim uvjetima i vrijednostima γ , E , K_1 , h — pokazuje da na desnom dijelu pile gdje se konvencionalno vrši mjerjenje napetosti u traci ne postoji mjesto s krivinom koja bi odgovarala radiusu kotača pile.

7.6. Krivulja na slici 7. predstavlja grafički prikaz funkcije

$$\frac{f}{f_{\max}} = \frac{\frac{x}{1} - 3,6}{-\frac{24}{1} \frac{x}{1} + \frac{36}{1} \frac{x^2}{1}} + \frac{\frac{x}{1} - 3,6}{-\frac{24}{1} \frac{x}{1} + \frac{36}{1} \frac{x^2}{1}}$$

koja je izračunata za elastičnu liniju prikazanu na sl. 5. Gornja funkcija izvedena je iz obrazaca navedenih u odjelku 7.1; 7.4; 7.5, a vrijedi za brojčane vrijednosti kakve često susrećemo u praksi: $\beta = 0,8$; $K_2 = b/s = 100$; $\gamma = 7,8 \cdot 10^4 \text{ N/m}^3$; $E = 0,206 \cdot 10^{12} \text{ N/m}^2$; $h = 0,333 \text{ m (odjelak 8.1)}$.

Ordinate linije A predstavljaju relativno ispuštenje $\frac{f_k}{f_{\max}} = 0,465$ pilne trake, kako je izračunato u odjeljku 7.1.

Položaj linije A prema krivulji na sl. 7 pokazuje — pri naprijed usvojenim uvjetima i vrijednostima za β , K_2 , γ , E , h — da na desnom dijelu pile, gdje se konvencionalno vrši mjerjenje napetosti u pilnoj

traci, nastaje relativno ispuštenje $\frac{f}{f_{\max}} = 1$, koje se

značajno razlikuje od relativnog ispuštenja $\frac{f}{f_{\max}} = 0,465$, kakvo odgovara pili savijenoj na radius kotača pile R_k (sličan rezultat dobiven je i opitima — tabela I).

7.7. Naprava prikazana na sl. 9 je u principu jednak analognom sklopu magnetskog kontrolnika, sl. 10 i sl. 11. Prilikom provjere točnosti ovog mjerila, pomoći etalonu, ustanovljeni raspon odstupanja bio je manji od $T = 0,1 \text{ mm}$.

7.8. Brojke u alineama 1, 2, 4 (Tabela I) pokazuju da su se stvarna ispuštenja f_s , izmjerena konven-

cionalnim načinom, značajno razlikovala od ispuštenja f_k , izmjerena na pili savijenoj u polukrug radiusa kotača pile, $R_k = 550$ mm. Do sličnih rezultata dovode razmatranja grafa na sl. 7. i objašnjenja u odjeljku 7.6.

Brojke u alineama 2, 3 i 5 (Tabela I) pokazuju da su, na konvencionalno savijenoj opitnoj traci, okom procijenjena ispuštenja f_o , bila približno dvostruko veća od stvarnih ispuštenja f_s izmjerena na mjerljivom napravom sl. 9. Ova činjenica bi se mogla tumačiti time da radnik, prilikom očne procjene ispuštenja, nesvesno ocjenjuje svjetlosni projektor koji je dvostruko širi od stvarnog razmaka između lineala i pile. Naime, radnik registra svjetlu traku koja se očrtava između realnog mjerljivog brida ravnala i slike tog istog mjerljivog brida koja se ogleda na glatkoj površini pile (sl. 4).

Podaci u alinei 6 (Tabela I) pokazuju da su na opitnoj pili okom očitana ispuštenja f_o , bila prosječno 4 puta veća od ispuštenja f_k , izmjerena na traci savijenoj u polukrug kotača pile R_k .

Navedena mjerjenja obavljena su na obilježenim mjestima a, b, c, d, e pokusnog lista tračne pile ($s = 1,2$ mm; $b = 120$ mm), koji je bio uredno napet valjanjem. Mjerjenja na drugim pilnim trakama, izvršena na isti način, dala su analogne rezultate.

7.9. Brojke u alineama 1, 2, 3, 4, 5 (Tabela II) pokazuju da ispuštenje f_{KA} i f_{KB} — izmjerena magnetskim kontrolnikom na opitnoj pili — nisu značajno odstupala u odnosu na ispuštenja f_k — ustanovljena na istoj pilnoj traci, kada je ova bila savijena u polukrug kotača pile $R_k = 550$ mm. Nađene razlike Δf_A i Δf_B manje su od tolerance $T = 0,1$ mm, dogovorene u odjeljku 2.

Vrijednosti u alinei 6 (Tabela II) pokazuju da se ispuštenja f_{KA} i f_{KB} očitana na opitnoj pili, jedan put od strane radnika A, drugi put od strane radnika B, nisu međusobno značajno razlikovala. Ustanovljene razlike Δf_{AB} manje su od tolerance $T = 0,1$ mm, dogovorene u odjeljku 2.

Navedena mjerjenja obavljena su na obilježenim mjestima a, b, c, d, e pokusnog lista tračne pile ($s = 1,2$ mm; $b = 120$ mm) koji je bio uredno napet valjanjem. I kod drugih analognih optika, izmjerena odstupanja Δf kretala su se unutar tolerance $T = 0,1$ mm.

8. POPIS OZNAKA I NEKIH NAZIVA, KORIŠTENIH U OVOM ČLANKU

8.1. Popis oznaka

- b — širina pilne trake od dna ozubine do leđnog brida (sl. 1).
- E — modul elastičnosti materijala pile. U ovome je članku primjenjivana vrijednost $E = 0,206 \cdot 10^{12}$ N/m² — 21.000 kp/mm².
- f — ispuštenje profila valjanjem prednapete pilne trake, koja je na mjestu mjerjenja uzdužno savijena u krivinu određenog radiusa R (sl. 1).
- f_k — ispuštenje f, profila, valjanjem prednapete pilne trake, koja je na mjestu mjerjenja ispuštenja uzdužno savijena u krivinu radiusa kotača pile R_k .
- f_{max} — maksimalno ispuštenje f profila valjanjem prednapete pilne trake, koja je, na mjestu mjerjenja ispuštenja, uzdužno savijena u krivinu radiusa R_m (sl. 2).
- h — visina iznad stola na kojoj je oslonjena pilna traka prilikom konvencionalnog mjerjenja napetosti u pili (sl. 1).
- KNP — oznaka tipa magnetskog kontrolnika za mjerjenje ispuštenja profila pilne trake (sl. 10).
- K_1 — odnos radiusa kotača pile R_k i debljine pilne trake s, ($K_1 = R_k : s$). U praksi često nalazimo odnos $K_1 = 500$, bolje poznat kao odnos D : s = 1000 ($D = 2 R_k$).
- K_2 — odnos širine pile b i debljine lista s, ($K_2 = b : s$). U praksi se odnos K_2 često nalazi u blizini vrijednosti 100.
- I — raspon elastične linije pile, prilikom konvencionalnog načina mjerjenja napetosti u pilnoj traci (sl. 1).
- R — radius krivine (oskulatornog kruga) elastične linije pilne trake na mjestu mjerjenja ispuštenja profila (sl. 1).
- R_k — radius kotača stroja, oko koga će se ovijati list tračne pile tokom procesa rezanja.
- R_m — radius krivine pilne trake pri kojem se pojavljuje najveće ispuštenje f_{max} , na pilnoj traci (sl. 2).
- s — debljina lista tračne pile (sl. 1).
- T — uvjetno prihvaćena toleranca mjerjenja veličine ispuštenja f (odjeljak 2).
- x — apscisa elastične linije pilne trake (sl. 1).
- y — ordinata elastične linije pilne trake (sl. 1).
- β — empirički korektivni koeficijent [4]. U ovome članku primjenjivana je vrijednost $\beta = 0,8$, koja je usvojena prema rezultatima vlastitih mjerjenja izvršenih na listovima tračnih pila.
- γ — specifična težina materijala pile. U ovome članku primjenjivana je vrijednost $\gamma = 7,7 \cdot 10^4$ N/m³ = 7,8 p/cm³.

8.2. Neki nazivi korišteni u ovome članku

Antiklastično povijanje pojaseva pilne trake prikazano je na sl. 3.

Konvencionalni način mjerjenja napetosti u pilnoj traci prikazan je na sl. 4. I neki drugi pojmovi vezani za ovaj način mjerjenja označeni su u članku nazivom konvencionalni.

List tračne pile, koji predstavlja beskonacnu pilnu traku, je alat radnog stroja, tračna pila.

Pod napetoscu u pilnoj traci podrazumijeva se u članku posebna konfiguracija prednapona u neopterećenom i izravnom dijelu pilne trake. Ovi se prednaponi ostvaruju uzdužnim hladnim valjanjem uz primjenu posebnog stroja, valjačica pila, u oštricnicama za pripremu pilanskih tračnih pil. Tim postupkom, koji se često naziva napinjanje valjanjem ili napinjanje, istežu se pojedini uzdužni pojasevi (zone) pilne trake preko granice elastičnosti. Kao posljedica trajnih deformacija uslijed valjanja, pojavljuju se uzdužni vlačni prednaponi u rubnim pojasevima, a tlačni prednaponi u srednjim pojasevima neopterećenog izravnatog dijela lista tračne pile.

O štrači ili »saw-doctors« su radnici koji vrše napinjanje valjanjem u radionicama za pripremu i održavanje pilanskih tračnih pil.

LITERATURA

- [1] WÜSTER, E.: Die Berechnung der Reckvorspannungen in Gatter- und Bandsägeblättern. Holz als Roh- und Werkstoff 24 (1966) 4, 134—144.
- [2] ALLEN, F. E.: High-Strain/Thin Kerf. Modern Sawmill Techniques; Proceedings of the First Sawmill Clinic; Portland, Oregon, February 1973.
- [3] SCHMALTZ, G.: Die amerikanischen Methoden zur Behandlung der Bandsägeblätter und ihre Elastizitätstheoretische Begründung. Zeitschrift des Vereins Deutscher Ingenieure, Band 71, Nr 47, 1927.
- [4] WACKER, H.: Die Behandlung breiter Bandsägeblätter, Holz-Zentralblatt Verlags, GmbH, Stuttgart, 1965.
- [5] SIMONDS, A.: The Art of Saw Doctoring Wide Bandsaws, Trade Cronicles Ltd, London 1953.
- [6] FRONIUS, K.: Die Arbeit am Gatter und an anderen Sägewerkmaschinen, Holz-Zentralblatt Verlags — GmbH, Stuttgart 1965.
- [7] KUCEROV, I. K., PAŠKOV, V. K.: Stanki i instrumenti lesopilne drevoprozrađujućeg proizvodstva, Lesnaja promišlenost, Moskva 1970.
- [8] FENZEL, P.: Sägezurichtung und Werkzeugkunde, Victoria-Verlag, Wien 1953.
- [9] FEOKTISTOV, A. E.: Lentočno Piljenie stanki, Lesnaja promišlenost, Moskva, 1976.
- [10] FOSCHI, R. O.: The Light-Cap Technique as a Tool for Measuring Residual Stresses in Bandsaw Blades, Wood Science and Technology 9 (1975) 4, 243—255.
- [11] ZUBČEVIĆ, R.: Tračne pile i njihova upotreba u pilanju, Zavod za tehnologiju drveta, Sarajevo 1965.
- [12] COVEL HANCHETT SAW AND KNIFE FITTING MANUAL, Covel-Hanchett Company, Michigan, 1943.
- [13] Herstellung und Pflege von Holzbandsägeblättern (prospekt — uputstvo), Uddeholm, Schweden, 1971.
- [14] Behandlung und Bearbeitung von Sandvik Holzbandsägenstahl, (prospekt — uputstvo), Schweden, 1973.
- [15] Kockums Autoband Roll Tensioner 246, (prospekt), Kockum Industry AB, Söderhamn, cca 1975.
- [16] Machine automatiques pour l'entretien des scies à ruban Rekmatic, (prospekt), Sté Sepem, St-Germain-en-Laye, cca 1975.

Recenzenti:

Doc. ing. ing. Stanko Sever
Prof. dr ing. Marijan Brežnjak

STRUČNJACI U DRVNOJ INDUSTRiji, PILANARSTVU, ŠUMARSTVU, POLJOPRIVREDI I GRAĐEVINARSTVU:

ČUVAJTE DRVO JER JE ONO NAŠE NACIONALNO BOGATSTVO!

Sve vrste drva nakon sjeće u raznim oblicima (trupci, piljena građa, građevna stolarija, krovne konstrukcije, drvene oplate, drvo u poljoprivredi itd.) izloženo je stalnom propadanju zbog razornog djelovanja uzročnika truleži i insekata.

ZATO DRVO TREBA ZAŠTITITI jer mu se time vijek trajanja nekoliko puta produljuje u odnosu na nezaštićeno drvo.

ZAŠTITOM povećavamo ili čuvamo naš šumski fond, jer se produljenom trajnošću smanjuje sjeća. Većom trajnošću ugrađenog drva smanjujemo troškove održavanja.

Zaštitom drva smanjuje se količina otpadaka. Zaštitom drva postiže se bolja kvaliteta, a time i povoljnija cijena.

U pogledu provođenja zaštite svih vrsta drva obratite se na Institut za drvo u Zagrebu.

Institut raspolaže uvježbanim ekipama i pomagalima, te može brzo i stručno izvesti sve vrste zaštite drva, tj. trupaca (bukva, hrast, topola, četinjače, sve vrste piljene građe, parena bukovina, krovne konstrukcije, ugrađeno drvo, oplate, lamperije, umjetnine itd.)

INSTITUT U SVOJIM LABORATORIJIMA OBAVLJA ATESTIRANJE I ISPITIVANJE SVIH SREDSTAVA ZA KONZERVIRANJE DRVA, POVRŠINSKU OBRADU, PROTUPOŽARNU ZAŠTITU DRVA I LJEPILA.